

LANCE

Laboratorio Nacional
de Clima Espacial



Reporte Semanal de Clima Espacial

<https://www.sciesmex.unam.mx/blog/category/reporte-semanal-de-clima-espacial/>



AEM AGENCIA
ESPACIAL
MEXICANA



CENAPRED
CENTRO NACIONAL DE
PREVENCIÓN DE DESASTRES



ISES
International Space
Environment Service

Reporte semanal: del 26 de julio al 1 de agosto de 2024

LANCÉ

Servicio Clima Espacial

CONDICIONES DEL SOL

Regiones Activas: 14.

Eyecciones de Masa Coronal: 12 tipo halo (ancho $> 90^\circ$).

Fulguraciones solares: Se observaron fulguraciones clase X y M.

Estallidos de radio: 28 estallidos de radio Tipo III, 2 Tipo II, 25 Tipo VI, 2 Tipo V y 2 CTM.

CONDICIONES DEL MEDIO INTERPLANETARIO

Esta semana se registraron 3 eyecciones de masa coronal.

CONDICIONES DE LA MAGNETÓSFERA

Se registró actividad geomagnética débil.

CONDICIONES DE LA IONOSFERA

No se registraron variaciones significativas.

CONDICIONES DE RAYOS CÓSMICOS SOBRE MÉXICO

Se registró decrecimiento Forbush.

*PRONÓSTICOS

Viento solar:

Se pronostica el arribo de una EMC para el día 03 de agosto de 2024.

Fulguraciones solares:

Probabilidad moderada de fulguraciones de clase X.

Tormentas geomagnéticas:

Baja probabilidad de perturbaciones geomagnéticas severas.

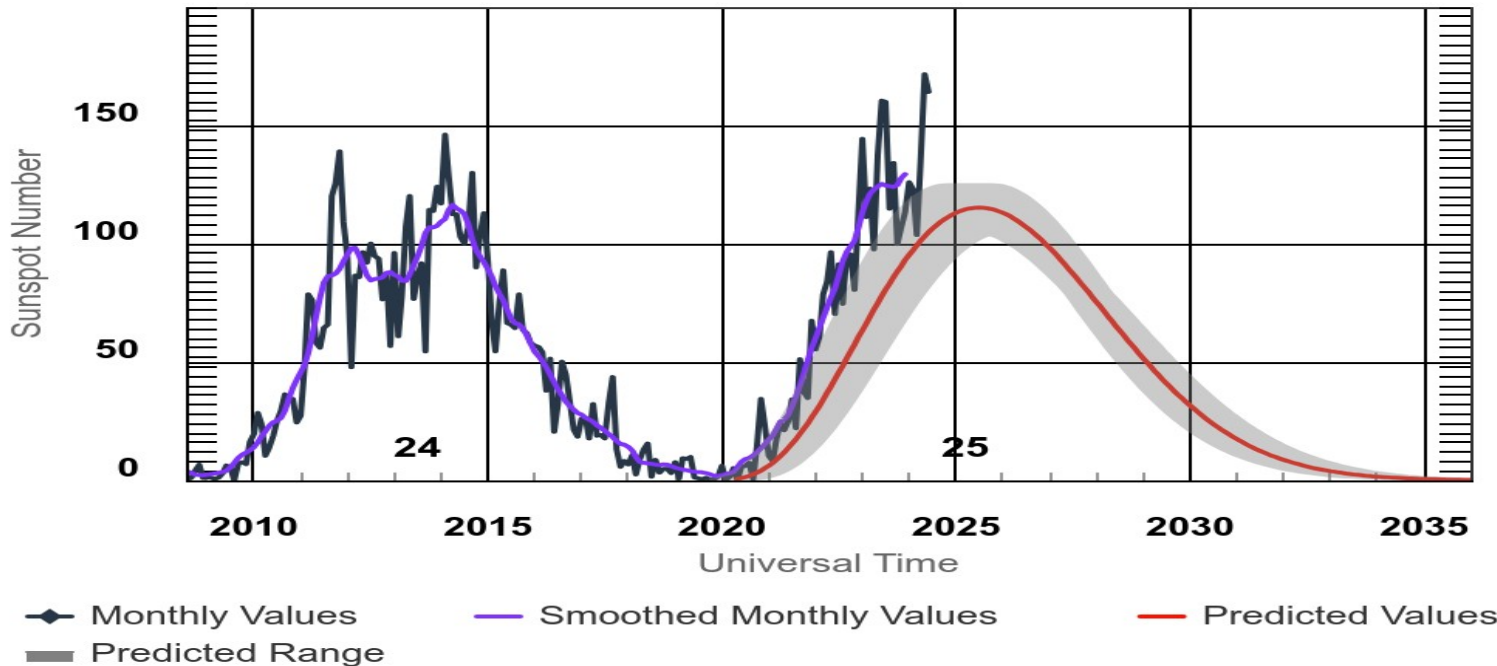
Tormentas ionosféricas:

Baja probabilidad de perturbaciones ionosféricas severas.

*NOTA: Perturbaciones de Clima Espacial pueden ser provocadas por eventos solares rápidos los cuales no se pueden pronosticar definitivamente con una anticipación de varios días.

Ciclo de manchas solares y la actividad solar

ISES Solar Cycle Sunspot Number Progression

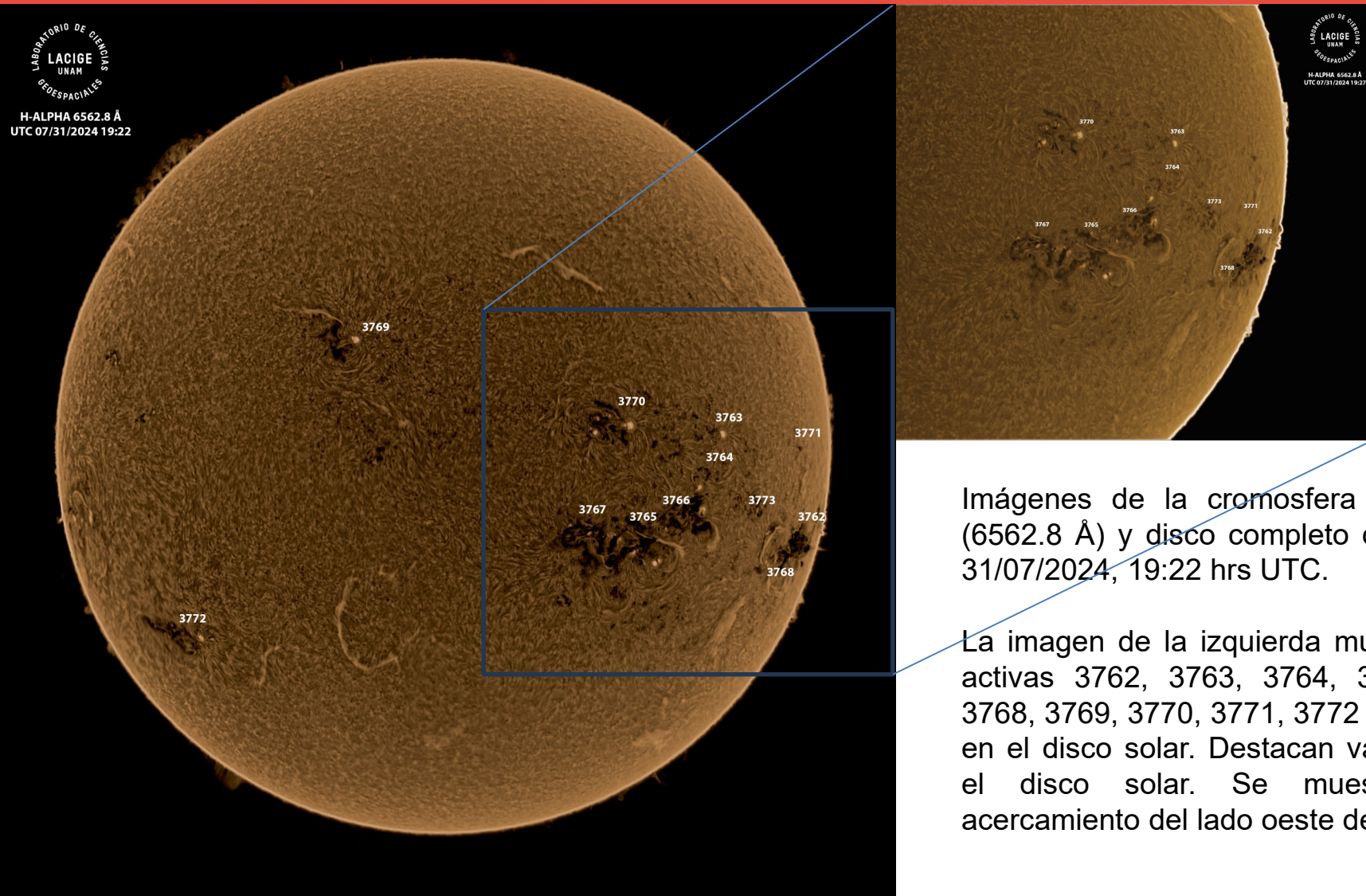


Space Weather Prediction Center

<http://www.swpc.noaa.gov/products/solar-cycle-progression>

Estamos en el ciclo solar 25. Es un periodo de actividad solar alta. La figura muestra el conteo del número de manchas solares desde finales de 2009 a la fecha.

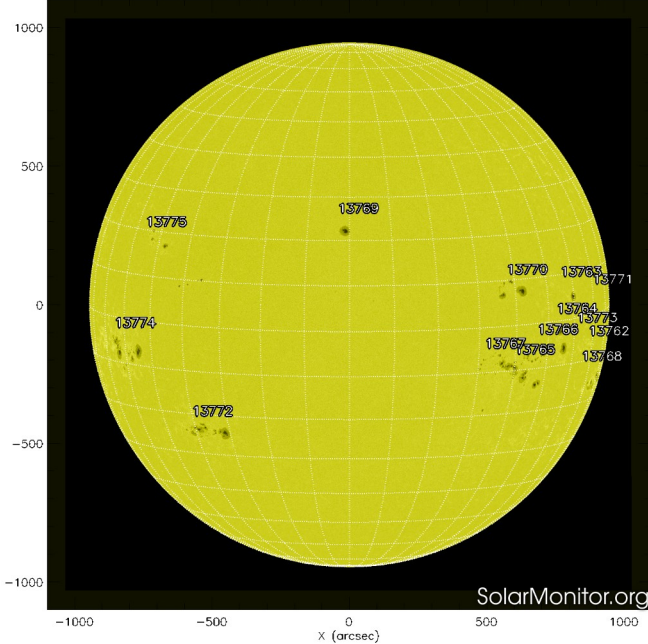
Entre más manchas solares presente el Sol, es mayor la posibilidad de que ocurra una tormenta solar.



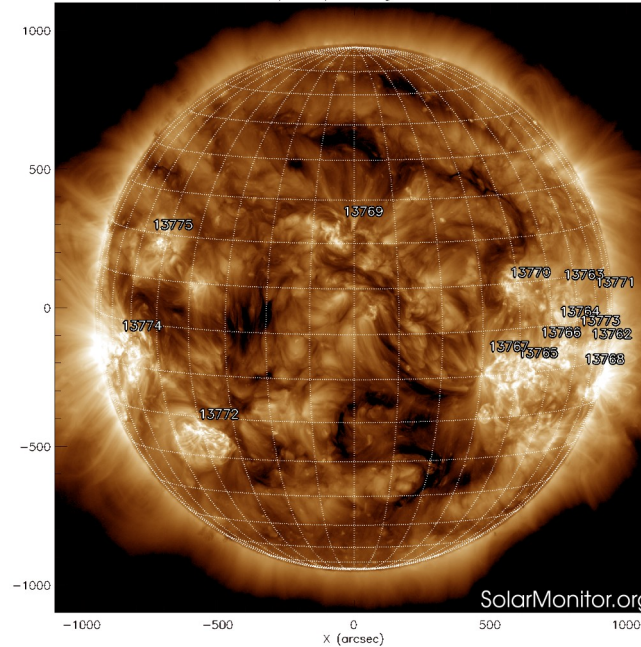
Imágenes de la cromosfera solar en H-Alpha (6562.8 Å) y disco completo del Sol para el día 31/07/2024, 19:22 hrs UTC.

La imagen de la izquierda muestra las regiones activas 3762, 3763, 3764, 3765, 3766, 3667, 3768, 3769, 3770, 3771, 3772 y 3773 observadas en el disco solar. Destacan varios filamentos en el disco solar. Se muestra también un acercamiento del lado oeste del disco solar.

SDO HMI (6173 Å) 1-Aug-2024 18:46:45.300



SDO AIA Fe XII (193 Å) 1-Aug-2024 19:24:04.843



El Sol, visto en distintas longitudes de onda, muestra diferentes capas solares.

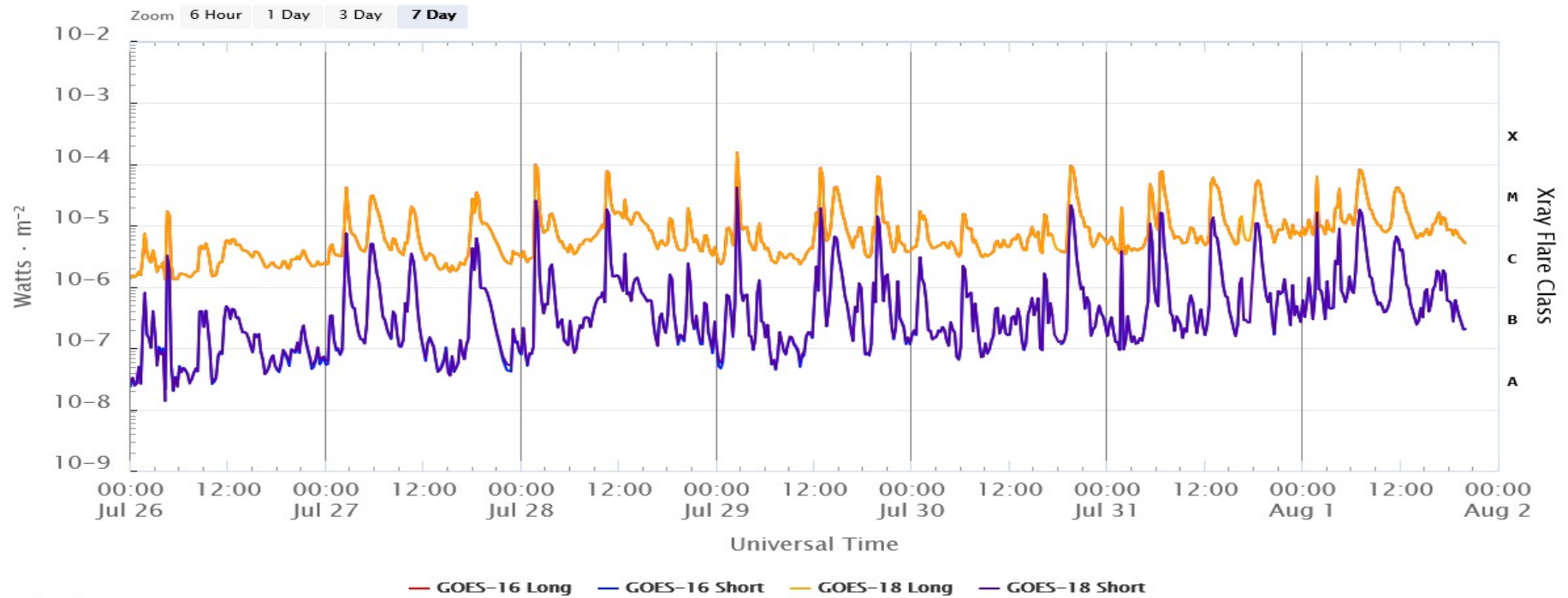
<http://solarmonitor.org>

A la izquierda: La fotosfera es la zona “superficial” del Sol, donde aparecen las manchas solares. Las regiones oscuras están formadas por material más frío que sus alrededores y que contienen intensos campos magnéticos. La imagen más reciente (el 1 de agosto) del satélite artificial SDO muestra 14 regiones activas, las cuales se encuentran en el hemisferio norte y sur del disco solar.

A la derecha: Imagen reciente (1 de agosto) del disco solar tomada por el satélite artificial SDO compuesta por la longitud de onda 193 Å.

Actividad solar: Fulguraciones solares

GOES X-Ray Flux (1-minute data)



Updated 2024-08-01 20:04 UTC

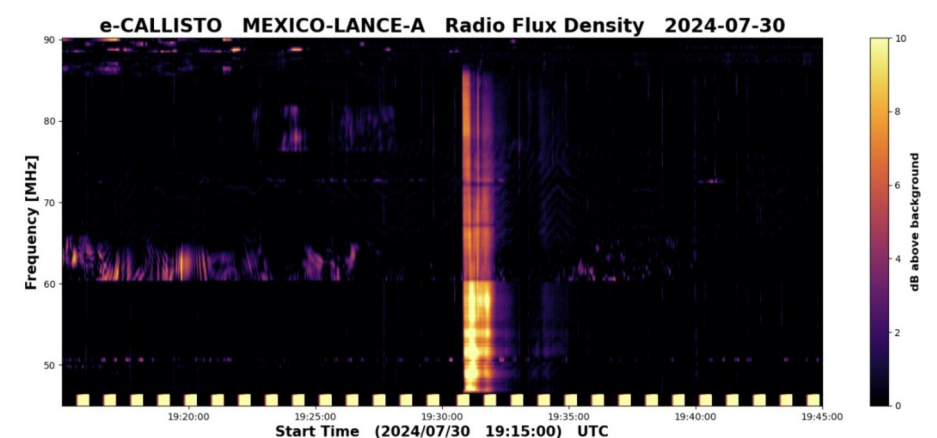
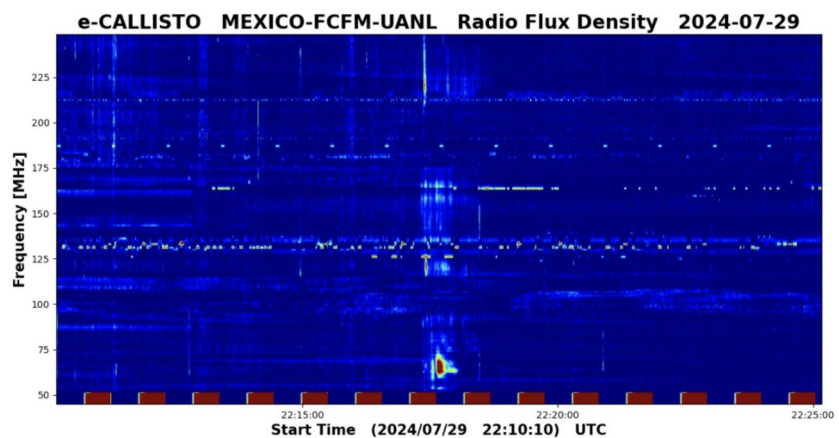
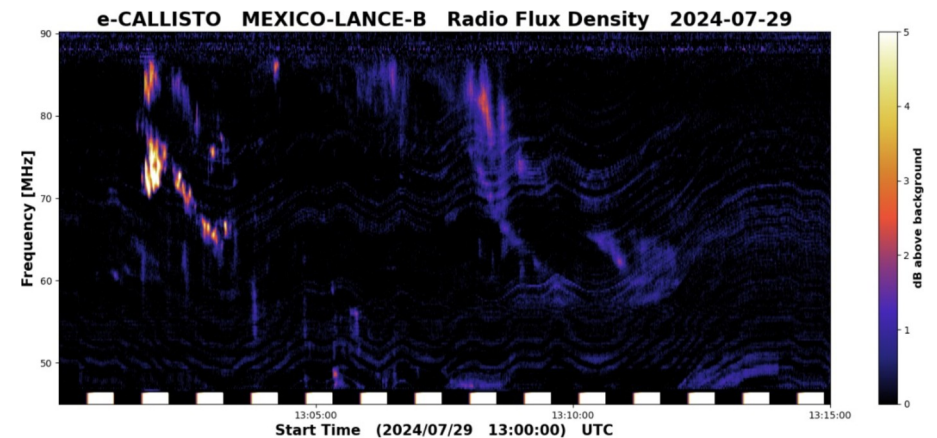
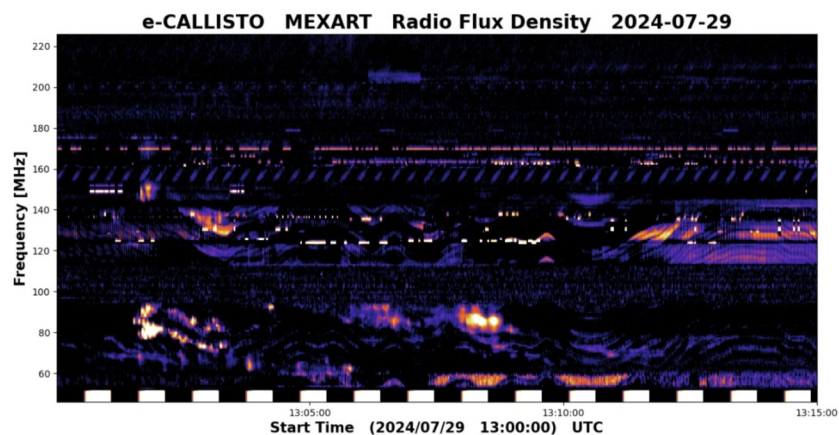
Space Weather Prediction Center

Flujo de rayos X solares detectado por los satélites GOES 16 y GOES 18. Durante los últimos días se observaron fulguraciones clase X y múltiples clase M.

<https://www.swpc.noaa.gov/products/goes-x-ray-flux>

Estallidos de radio solares: Observaciones de la REC-Mx

En esta semana la Red de Espectrómetros Callisto de México (REC-Mx) detectó 28 estallidos de radio Tipo III, 2 Tipo II, 25 Tipo VI, 2 Tipo V y 2 CTM.



Medio interplanetario: El viento solar cercano a la Tierra

Modelo numérico WSA-ENLIL.

Al día de hoy 01 de agosto de 2024, el modelo pronostica el arribo de una EMC para el día 03 de agosto de 2024 a las 6:00 (+- 7 horas) AM del Centro de México. Dicha EMC está asociada con una fulguración clase M8.2 de la región activa 13768.

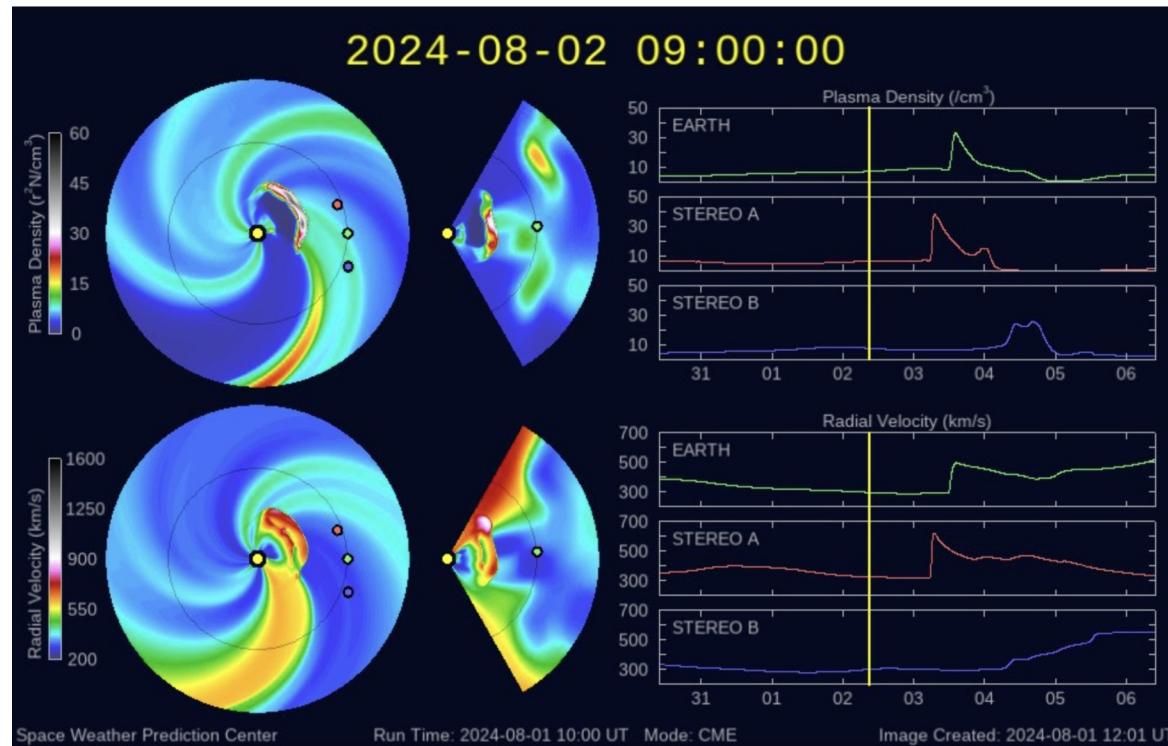


Imagen: <http://www.swpc.noaa.gov/products/wsa-enlil-solar-wind-prediction>

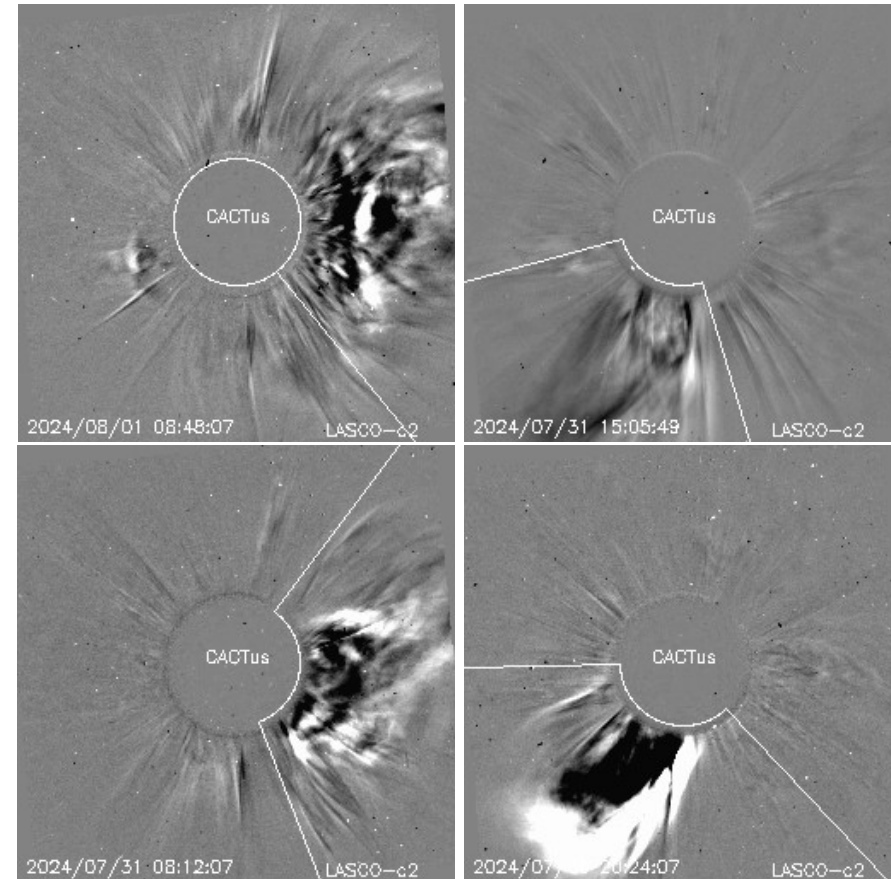
Actividad solar: Eyecciones de Masa Coronal

Se registraron 77 EMCs.
12 tipo halo (ancho > 90°)

Mediciones de salida de EMC de mayor
dimensión y velocidad de esta semana:

Fecha, tiempo inicial, velocidad promedio (km/s)

2024/08/01	08:12	833
2024/07/31	13:25	921
2024/07/31	07:12	466
2024/07/30	19:48	1009



- Eyecciones observadas por SOHO/LASCO con cálculos del sitio CACTUS.

Crédito, imágenes y valores estimados:
SOHO, the SOLAR & Heliospheric Observatory
<https://www.bis.sidc.be/cactus/>

Medio interplanetario: Región de interacción de viento solar

Esta semana se registraron tres eyecciones de masa coronal (EMCs) (ver regiones sombreada en amarillo en imagen 2). La EMC 2 y EMC 3 se formaron después de la expulsión de plasma en las regiones activas 13762, 13765 y 13766 (ver imagen 1). Tales estructuras generaron actividad geomagnética menor: $Kp_2=5$, $Dst_2= -29$ nT, $Kp_3=5$ y $Dst_3= -34$ nT.

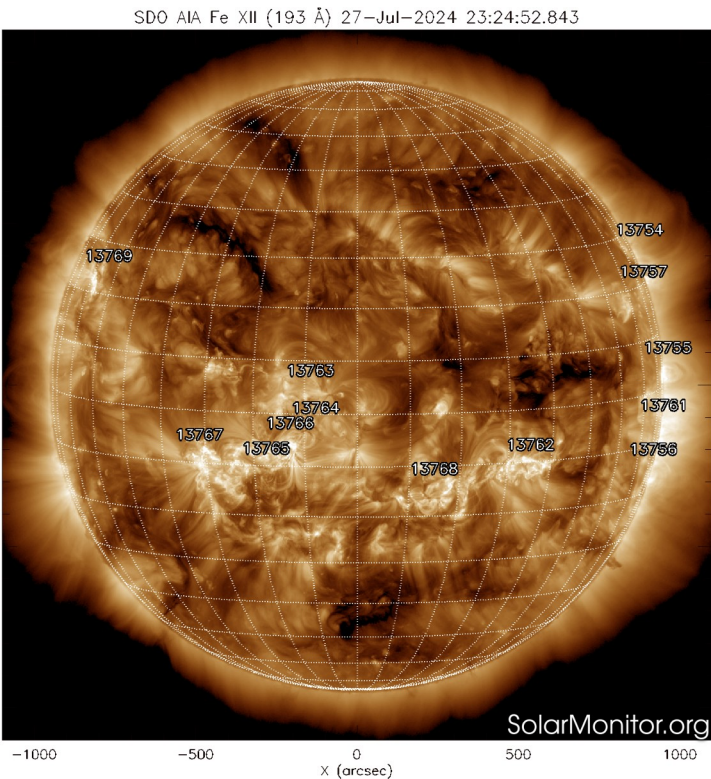


Imagen 1: <https://sdo.gsfc.nasa.gov/>

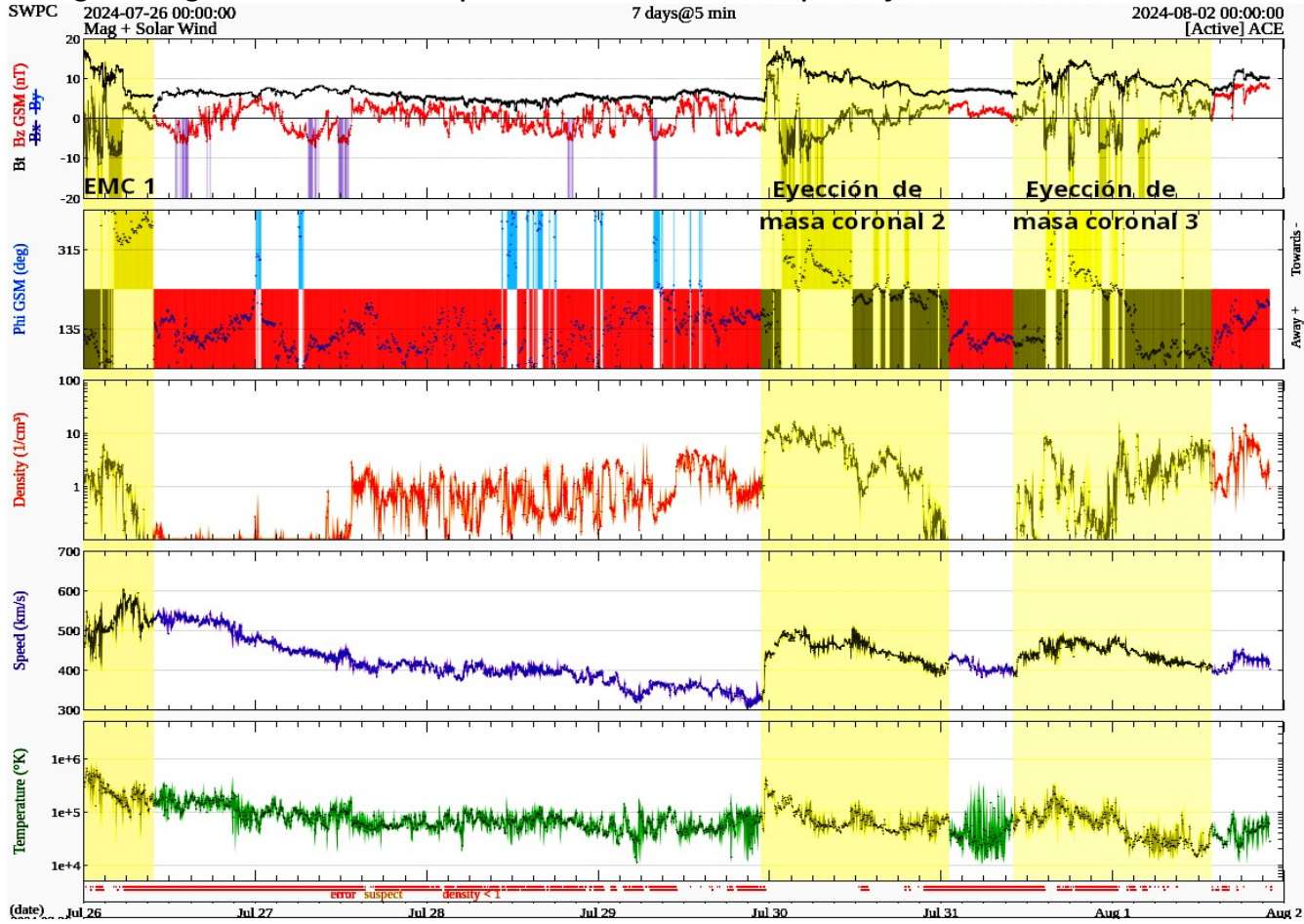


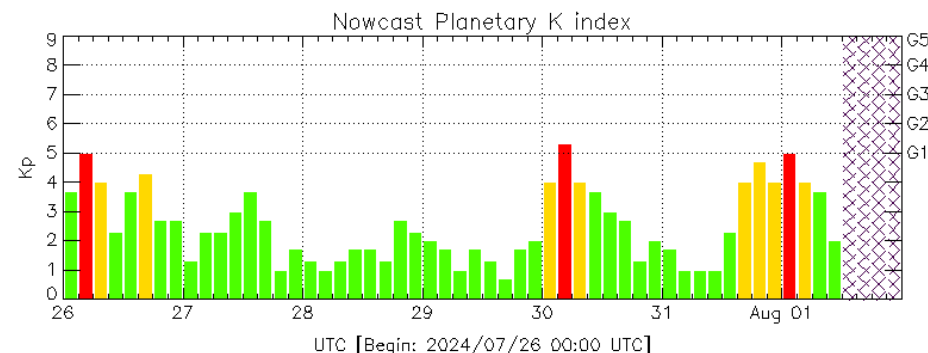
Imagen 2: <http://www.swpc.noaa.gov/products/real-time-solar-wind>

Perturbaciones geomagnéticas: Índices geomagnéticos Kp y Kmex

Se registraron valores de tormenta G1 (K=5) en los índices Kp y Kmex el 26 y 30 de julio y el 1 de agosto. La actividad geomagnética fue provocada por corrientes de viento solar con componente Bz sur intermitente que llegaron al ambiente terrestre el 26 y el 30 de julio.

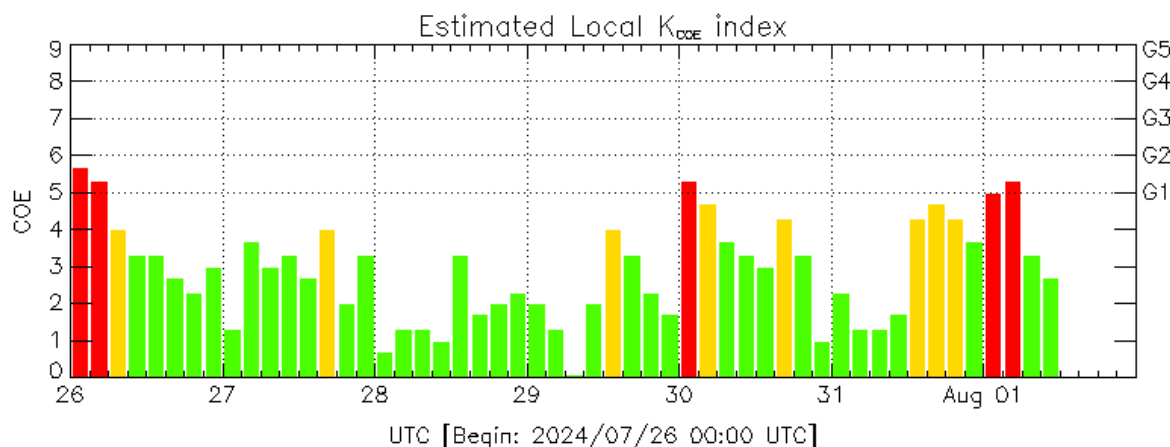
NOTA: El cálculo del índice Kmex fue realizado por la estación geomagnética de Coeneo. Los datos y cómputos son en tiempo casi real y no se deben de tomar como definitivos.

Datps: www.gfz-potsdam.de/en/kp-index/



Kp: by GFZ German Research Center for Geosciences
<https://www.gfz-potsdam.de/en/kp-index/>

Updated: 2024/08/01-11:59 UTC



Color Code: ■ quiet, ■ disturbed, ■ storm, XXXX data not available.

COE: Coeneo Geomagnetic Station (19.81N,101.69W)
REGMEX/LANCE (<http://regmex.unam.mx>)

Updated: 2024/08/01-12:59 UTC

El índice K indica la intensidad de las variaciones del campo magnético terrestre en intervalos de 3 horas.

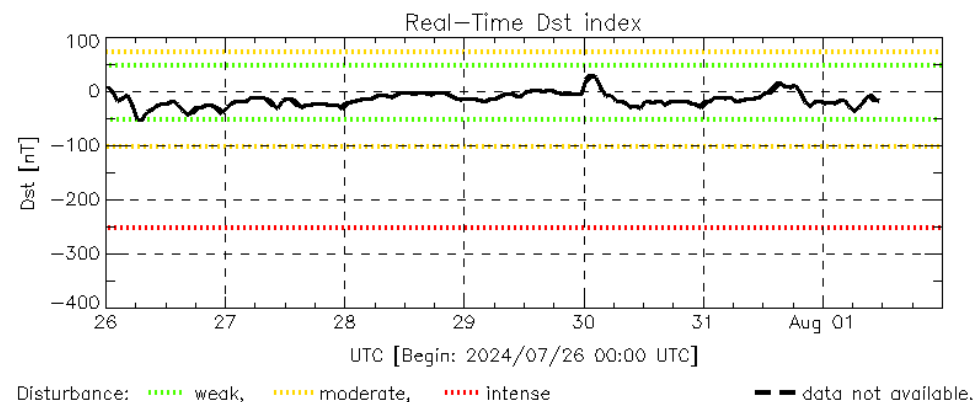
El índice Kp lo expresa a escala planetaria, mientras que el Kmex lo hace para el territorio mexicano.

Perturbaciones geomagnéticas: Índice Dst y ΔH

Se registró actividad geomagnética débil en los índices geomagnéticos Dst y ΔH el 26 y 30 de julio y el 1 de agosto. La actividad geomagnética fue provocada por corrientes de viento solar con componente Bz sur intermitente que llegaron al ambiente terrestre el 26 y el 30 de julio.

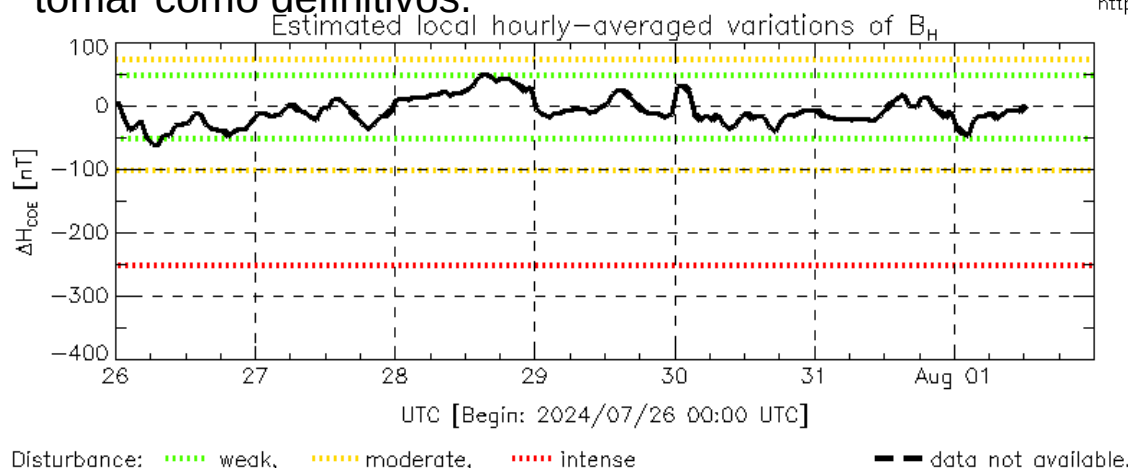
NOTA: El cálculo del índice ΔH se realizó por la estación geomagnética de Coeneo. Los datos y cálculos son en tiempo casi real y no se deben de tomar como definitivos.

Datos: wdc.kugi.kyoto-u.ac.jp/dst_realtime/



Dst: by World Data Center for Geomagnetism, Kyoto
http://wdc.kugi.kyoto-u.ac.jp/dst_realtime/

Updated: 2024/08/01-11:59 UTC



COE: Coeneo Geomagnetic Station (19.81N,101.69W)
REGMEX/LANCE (<http://regmex.unam.mx>)

Updated: 2024/08/01-12:59 UTC

Los índices Dst y ΔH miden las variaciones temporales de la componente horizontal del campo geomagnético, el primero a escala planetaria y el segundo para México.

Estas variaciones, en general, se deben al ingreso de partículas cargadas, provenientes del espacio exterior, al ambiente espacial terrestre.

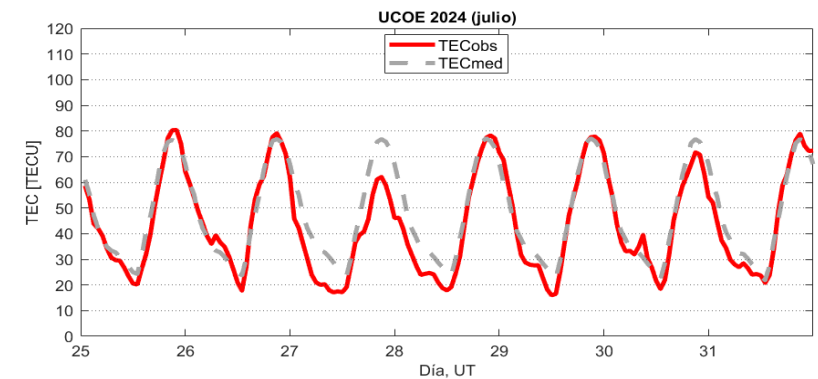
Ionósfera sobre México: TEC en el centro del país

El contenido total de electrones (TEC) es un parámetro que sirve para caracterizar el estado de la ionosfera de la Tierra.

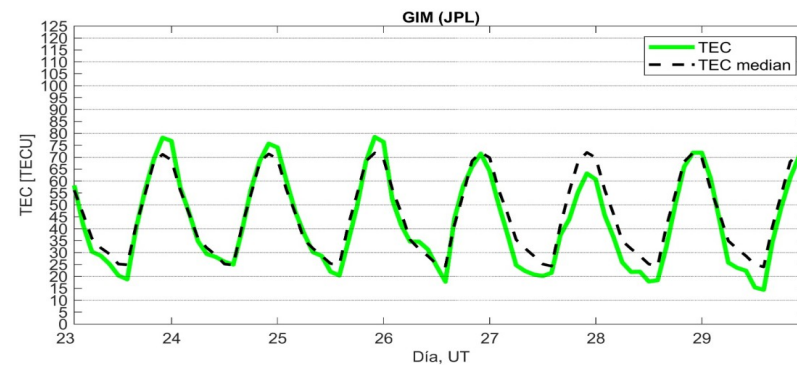
Series temporales de los valores de TEC (TECobs) con referencia a su valor mediano (TECmed) obtenidas de:

(1) Estación local UCOE, receptor ubicado en las instalaciones del MEXART

El cálculo se realiza en base del software "TayAbsTEC" del Instituto de Física Solar-Terrestre, SB RAS. Referencia: Yasyukevich et al., 2015, doi: 10.1134/S001679321506016X.



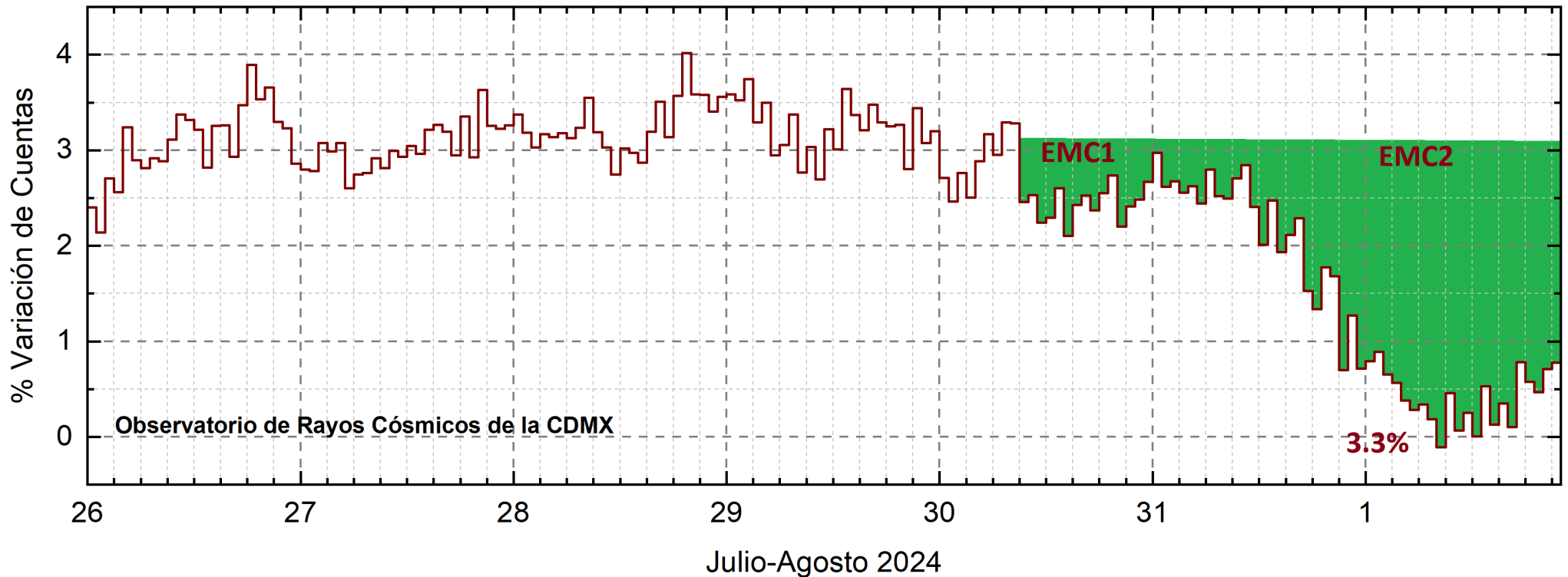
(2) Mapas ionosféricos globales (GIM JPL)



Durante la semana no se observaron variaciones significativas de TEC.



Rayos Cósmicos:



<http://www.cosmicrays.unam.mx/>

Datos registrados por el Observatorio de Rayos Cósmicos de la Ciudad de México. Del 26 de julio al 1 de agosto de 2024 se registró un decrecimiento Forbush (dF) debido al impacto de dos EMCs. El dF inició el 30 de julio a las 9 hrs TU. El área coloreada en verde representa la caída en las cuentas de rayos cósmicos detectadas en la CDMX, que alcanzó 3.3%. A las 22 hrs TU del 1 de agosto aún se registra la etapa de afectación y en proceso gradual de recuperación en el flujo de rayos cósmicos.



UNAM/LANCE/SCIESMEX

Dr. J. Américo González Esparza

Dr. Pedro Corona Romero

Dra. Maria Sergeeva

Dr. Julio C. Mejía Ambriz

Dr. Luis Xavier González Méndez

Ing. Ernesto Andrade Mascote

M.C. Pablo Villanueva Hernández

Dr. Ernesto Aguilar-Rodríguez

M.C. Carlos Isaac Castellanos Velazco

Dra. Verónica Ontiveros

Dra. Tania Oyuki Chang Martínez

Dr. Víctor José Gatica Acevedo

Dra. Angela Melgarejo Morales

Isaac David Orrala Legorreta

UNAM ENES-Morelia

Dr. Mario Rodríguez Martínez

Dr. José Juan González Avilés

M.C. Raúl Gutiérrez Zalapa

Ing. Ariana Varela Mendez

Mateo Peralta Mondragón

Jaquelin Mejía Orozco

Grace Diane Jiménez González

UNAM/PCT

Dra. Elsa Sánchez García

Dr. Carlos Arturo Pérez Alanís

M.C. Carlos Isaac Castellanos Velazco

UANL/LANCE

Dr. Eduardo Pérez Tijerina

Dra. Esmeralda Romero Hernández

Dr. José Enrique Pérez León

Ing. Iván Antonio Peralta Mendoza

Roel Aramis Olivera López

Fis. Rogelio Aguirre Gutiérrez

M.C. Adolfo Garza Salazar

UNAM/IGF/RAYOS CÓSMICOS

Dr. José Francisco Valdés Galicia

Fis. Alejandro Hurtado Pizano

Ing. Octavio Musalem Clemente

SERVICIO MAGNÉTICO

M.C. Esteban Hernández Quintero

M.C. Gerardo Cifuentes Nava

Dra. Ana Caccavari Garza

GPCEET/SAET-IPN

Ing. Julio César Villagrán Orihuela

Miguel Daniel González Arias

Carlos Escamilla León

Pablo Romero Minchaca

Alfonso Iván Verduzco Torres

Claudia López Martínez

Ana María Ramírez Reyes

Emiliano Campos Castañeda

Elaboración: Equipo de LANCE

Agradecimientos

El Laboratorio Nacional de Clima Espacial (LANCE) es parcialmente financiado por: el programa Cátedras CONACYT Proyecto 1045 y el Fondo Sectorial AEM-CONACYT proyecto 2014-01-247722. Agradecemos al proyecto Conacyt – Repositorio Institucional de Clima Espacial 268273. Agradecemos al proyecto AEM-2018-01-A3-S-63804 del Fondo Sectorial CONACYT-AEM. Agradecemos a todos los responsables y colaboradores de instrumentos del LANCE y a las redes de estaciones GPS del Servicio Sismológico Nacional y TlalocNET por facilitar sus datos. Agradecemos a Gerardo Cifuentes, Esteban Hernández y Ana Caccavari por los datos del Observatorio Magnético de Teoloyucan. De igual forma, agradecemos los servicios de IGS (International GNSS Service) por permitirnos usar los datos IONEX disponibles en: <https://cddis.nasa.gov/archive/gnss/products/ionex>. Los valores de TEC fueron obtenidos a partir de observaciones de las redes GPS del Servicio Sismológico Nacional (SSN), SSN-TLALOCNet y TLALOCNet del Servicio de Geodesia Satelital (SGS). Agradecemos al personal del SSN y del SGS por el mantenimiento de estaciones, la adquisición de datos y el soporte de IT de estas redes. Las operaciones de la red TLALOCNet y SSN-TLALOCNet GPS han sido apoyadas por The National Science Foundation bajo el proyecto EAR-1338091 a UNAVCO Inc., los proyectos CONACyT 253760 y 256012 y los proyectos UNAM-PAPIIT IN109315-3 y IN104818-3 de E. Cabral-Cano y el proyecto UNAM-PAPIIT IN111509 de R. Pérez. De igual forma, agradecemos a los proyectos de infraestructura del CONACyT: 253691 y del PAPIIT-DGAPA: IA107116 para el fortalecimiento de equipos como la estación fija de GPS, que forman parte del LACIGE-UNAM, de la ENES unidad Morelia a cargo de M. Rodríguez-Martínez, El cálculo de TEC se realiza: 1) utilizando el software US-TEC que es un producto de operación del Space Weather Prediction Center (SWPC), desarrollado a través de una colaboración entre National Geodetic Survey, National Oceanic and Atmospheric Administration (NOAA) y el Cooperative Institute for Research in Environmental Sciences of the University of Boulder, Colorado, 2) con base en el software TayAbsTEC del Instituto de Física Solar-Terrestre, sección Siberiana de la Academia de Ciencias Rusa. Parte del procesamiento de datos se lleva a cabo dentro del centro de Supercómputo de Clima Espacial (CESCOM) del LANCE. Así mismo agradecemos al Space Weather Forecasting Center for Astrophysics & Space Research de la University of California in San Diego y al Korean Space Weather Center por los datos de pronóstico para los modelos WSA-ENLIL y los mapas tomográficos por IPS. Agradecemos a la red e-callisto por los datos proporcionados de espectros electromagnéticos dinámicos de la red internacional de registro de eventos de radio solares.

Datos

Imágenes de coronógrafo, flujo de rayos X y modelo WSA-ENLIL:

<http://www.swpc.noaa.gov/products>

<http://iswa.ccmc.gsfc.nasa.gov/IswaSystemWebApp/>

Imágenes de coronógrafo:

<http://sohowww.nascom.nasa.gov/data/>

Imágenes del disco solar y de la fulguración:

<http://www.solarmonitor.org/>

Detección y caracterización de EMCs:

<http://www.sidc.oma.be/cactus/out/latestCMEs.html>

<http://spaceweather.gmu.edu/seeds/>

ISES:

<http://www.spaceweather.org/>

International Network of Solar Radio Spectrometers (e-callisto):

<http://www.e-callisto.org/>

German Research Center For Geosciences Potsdam:

<http://www.gfz-potsdam.de/en/sektion/erdmagnetfeld/daten-dienst/e/kp-index/>

Data Analysis Center for Geomagnetism and Space Magnetism, Kyoto University:

<http://wdc.kugi.kyoto-u.ac.jp/index.html>

UNAVCO:

<http://www.unavco.org>

SSN:

<http://www.sismologico.unam.mx/>

SOHO Spacecraft NASA:

<http://sohowww.nascom.nasa.gov/>

SDO Spacecraft NASA:

<http://sdo.gsfc.nasa.gov/>

Space Weather Prediction Center NOAA:

<http://www.swpc.noaa.gov>

GOES Spacecraft NOAA:

<http://www.ngdc.noaa.gov/stp/satellite/goes/index.html>

ACE Spacecraft NOAA

<http://www.srl.caltech.edu/ACE/ASC/index.html>